

INSTITUTO FEDERAL DE EDUCAÇÃO, CIÊNCIA E TECNOLOGIA DE SÃO PAULO

JOSÉ WILLIAM RODRIGUES PEREIRA

CONTROLE DE SISTEMA DINÂMICO UTILIZANDO LÓGICA
PARACONSISTENTE ANOTADA EVIDENCIAL $E\tau$

SÃO PAULO
2018

JOSÉ WILLIAM RODRIGUES PEREIRA

CONTROLE DE SISTEMA DINÂMICO UTILIZANDO LÓGICA
PARACONSISTENTE ANOTADA EVIDENCIAL $E\tau$

Dissertação apresentada ao Instituto Federal
de Educação, Ciência e Tecnologia de São
Paulo como requisito para obtenção do grau
de Mestre em Automação e Controle de
Processos

Orientador: Profº Dr. Tarcisio Fernandes Leão

SÃO PAULO
2018

P492c Pereira, José William Rodrigues

CONTROLE DE SISTEMA DINÂMICO UTILIZANDO
LÓGICA PARACONSISTENTE ANOTADA EVIDENCIAL $E\tau$ / José
William Rodrigues Pereira , - - São Paulo, 2018.
48f. : il

Orientador: Tarcisio Fernandes Leão .
Mestre (Automação e Controle de Processos) - -
Instituto Federal de Educação, Ciência e Tecnologia de São Paulo ,
2018.

1.Técnicas de Controle 2.Lógica Paraconsistente 3.Controle Não-
Convencional. I. Leão, Tarcisio Fernandes. II. Título.

CDD 003.3

JOSÉ WILLIAM RODRIGUES PEREIRA

CONTROLE DE SISTEMA DINÂMICO UTILIZANDO LÓGICA
PARACONSISTENTE ANOTADA EVIDENCIAL $E\tau$

Dissertação apresentada ao Instituto Federal
de Educação, Ciência e Tecnologia de São
Paulo como requisito para obtenção do grau
de Mestre em Automação e Controle de
Processos

Orientador: Profº Dr. Tarcisio Fernandes Leão

Aprovado pela banca examinadora em 28/02/2018

BANCA EXAMINADORA

Profº Dr. Tarcisio Fernandes Leão
Orientador

Profº Dr. Eduardo Alves da Costa

Profº Dr. Cláudio Rodrigo Torres

Dedico este trabalho à minha família, pela paciência; aos amigos de curso e professores, pelo companheirismo e dedicação; a todos que em algum momento compartilharam ideias, palavras de incentivo e carinho; A todos os amantes do saber.

Agradecimentos

À minha família e à minha esposa Fernanda, que além de apoio incondicional souberam compreender todo o esforço e dedicação destinados a este trabalho.

Ao Profº Dr. Tarcisio Fernandes Leão por acreditar no potencial deste trabalho, pela orientação ativa e sempre bem humorada, pela dedicação e apoio tanto em sala quanto em conversas informais, desde sempre.

Ao Profº Me. Vander Célio Nunes por apresentar e ensinar a Lógica Paraconsistente Anotada Evidencial Et , pela dedicação e amor ao ensino.

Ao Instituto Federal de Educação Ciência e Tecnologia de São Paulo, em todo seu corpo docente de qualidade reconhecida, que foram e ainda são um referencial e um objetivo de formação profissional e de excelência nos diversos ramos do conhecimento educacional, científico e tecnológico, tanto na graduação quanto no programa de mestrado.

À todos os colegas que fizeram parte desta jornada algo muito agradável, mostrando as individualidades e as potencialidades, ampliando a noção de respeito, parceria e amizade.

"... Reze e trabalhe, fazendo de conta que esta vida é um dia de capina com sol quente, que às vezes custa muito a passar, mas sempre passa. E você ainda pode ter muito pedaço bom de alegria... Cada um tem a sua hora e a sua vez: você há de ter a sua."(Sagarana)

João Guimarães Rosa

Resumo

Sistemas de Controle são amplamente utilizados no setor industrial e buscam uma maior eficiência de tempo e energia, mantendo uma qualidade dos processos e do sistema controlado. O objetivo deste estudo é mostrar uma implementação não convencional de um controle em malha fechada utilizando a Lógica Paraconsistente Anotada Evidencial $E\tau$, de forma a atender requisitos específicos de desempenho em um sistema físico proposto. O desenvolvimento de técnicas classificadas como Inteligência Artificial fez surgirem outras opções para o controle de sistemas, contudo ainda há escassez de implementações e testes usando técnicas alternativas. Os estudos e os resultados iniciais mostram um grande potencial para a implementação e exploração da LPA2v em sistemas de controle, de forma semelhante as técnicas mais difundidas como uma Lógica Fuzzy, Redes Neurais, Controle Adaptativo ou Algoritmo Evolutivo.

PALAVRAS-CHAVE: Controle Não Convencional; Lógica Paraconsistente; Técnicas de Controle

Abstract

Control Systems are widely used in the industrial sector and seek greater efficiency of time and energy, maintaining a quality of processes and system controlled. The objective of this study is to show an unconventional implementation of a closed loop control using the Evidential Paraconsistent Annotated Logic $E\tau$ in order to meet specific performance requirements in a proposed physical system. The development of techniques classified as Artificial Intelligence has given rise to other options for the control of systems, however there is still a shortage of implementations and tests using alternative techniques. The studies and the initial results show a great potential for the implementation and exploration of LPA2v in control systems, similar to the most widespread techniques such as Fuzzy Logic, Neural Networks, Adaptive Control or Evolutionary Algorithm.

KEYWORDS: Unconventional control; Paraconsistent logic; Control Techniques;

Lista de Figuras

2.1	Diagrama de blocos de sistema de controle	10
2.2	Gráfico da função Resposta	11
2.3	Reticulado finito de Hasse	14
2.4	Representação do reticulado no quadrado unitário no plano cartesiano .	16
2.5	Representação da Reta Perfeitamente Definida	17
2.6	Representação da Reta Perfeitamente Indefinida	18
2.7	Representação dos Graus de Certeza e Contradição em um plano cartesiano	20
2.8	Representação dos valores de controle	20
2.9	Representação do reticulado da LPA2v subdividido em 12 regiões	21
2.10	Representação do reticulado da LPA2v subdividido em 8 regiões	22
2.11	Representação do Grau de Certeza Real no reticulado	23
3.1	Motor DC	28
3.2	Placa de desenvolvimento: microcontrolador com núcleo ARM-Cortex M4	29
4.1	Visão geral do sistema	32
4.2	Sistema de controle em malha aberta	33
4.3	Sistema de Primeira Ordem	34
4.4	Constante de tempo	35
4.5	Ação de Controle em Malha Aberta	36
4.6	Diagrama de blocos do controle utilizando a LPA2v	38
4.7	Ação de controle utilizando LPA2v	40
4.8	Ação de controle utilizando LPA2v para valores alvo variáveis	41

Lista de Tabelas

4.1	Erro Relativo Percentual para intervalos determinados por τ	38
5.1	Cronograma de atividades	44
6.1	Custo dos itens adquiridos para montagem do projeto	45
6.2	Itens que não geraram custo direto ao projeto	45

Lista de símbolos

\mathcal{L}	Operador da Transformada de Laplace
\mathcal{L}^{-1}	Operador da Transformada Inversa de Laplace
s	Variável complexa de Laplace
a	Polo da função
c	Número real constante
K	Constante de proporcionalidade
e	Número de Euler, função exponencial
τ	Intervalo de tempo que uma curva de 1º grau alcança 64% do valor de regime
\rightarrow	Em lógica: Implica; Em cálculo: tende a
\forall	Para todo
\neg	Negação
\vee	Disjunção
\wedge	Conjunção
μ	grau de evidência favorável
λ	grau de evidência desfavorável
\mathbb{R}	Conjunto dos números reais
\in	Pertence
\subset	Está contido em

V	Verdadeiro
F	Falso
\top	Contradição
\perp	Paracompleto
\sim	Negação
\leftrightarrow	Transposta

Sumário

1	Introdução	6
1.1	Hipótese e Relevância do Trabalho	7
1.2	Objetivo Geral	7
1.2.1	Objetivos Específicos	8
1.3	Justificativa	8
1.4	Organização da Dissertação	8
2	Revisão Bibliográfica	9
2.1	Diagrama de Blocos	9
2.2	Ação de Controle	10
2.3	Controle Moderno Não Convencional	
	Lógica Paraconsistente	12
2.3.1	Reticulado de Hasse	13
2.3.2	Quadrado Unitário no Plano Cartesiano - QUPC	16
2.3.3	A LPA2v aplicada em Controle	24
3	Metodologia	27
3.1	A construção do sistema de controle físico	28
3.2	Obter um modelo do processo	29
3.3	Estudar a LPA2v	30
3.4	Implementar um controlador utilizando LPA2v	30
3.4.1	Estabelecer a configuração do sistema	31
3.4.2	Descrever o controlador e parâmetros de ajuste	31
3.5	Otimizar parâmetros e analisar performance	31
4	Resultados Preliminares	32
4.1	Construção de um sistema físico para controle	32
4.2	Obtenção de um modelo do processo	32
4.2.1	Qualidade do modelo	37
4.3	Resultados	38
4.4	Etapas a serem desenvolvidas	41
5	Cronograma	42
6	Viabilidade Econômica	45

1. Introdução

Tendo em vista que estudos de novas formas de lógicas não clássicas estão em curso, a lógica paraconsistente surge como uma promissora ferramenta para tomada de decisão em diversos campos de aplicação como a robótica, automação industrial, inteligência artificial, logística, controle, entre outras(DA SILVA FILHO, 2006).

Segundo o Dr. KRAUSE(2004), professor e pesquisador do departamento de Filosofia da Universidade Federal de Santa Catarina: "Alguns dos campos mais férteis de aplicação dessas lógicas têm sido a ciência da computação, a engenharia e a medicina."e cita ainda que:

"... na inteligência artificial essas lógicas foram usadas a partir da década de 1980 por H. Blair e V. S. Subrahmanian, da Universidade de Siracusa, Estados Unidos, e colaboradores, na elaboração de sistemas para serem utilizados especialmente em medicina."

A Lógica Clássica, que utiliza um modelo lógico binário, foi de forma muito natural adaptado ao funcionamento dos transistores utilizados como chave liga/desliga, e este funcionamento embasou toda a tecnologia digital que vemos hoje em dia, baseada em princípios bem definidos e reais. Assim, surge a indagação sobre a utilização de Lógicas Paraconsistentes aplicadas ao mundo real como cita DA SILVA FILHO; ABE(2011):

Dentro desta percepção, surge a ideia da possibilidade real de um Sistema Lógico Paraconsistente que, assim como na lógica clássica, é um conjunto de axiomas e regras de inferência que objetivam representar formalmente raciocínio válido. Sendo assim, o Sistema Lógico Paraconsistente pode ser representado através de um algoritmo que tem sua utilização como o núcleo de um programa computacional com aplicações diretas em sistemas de Inteligência Artificial.

Algumas das Lógicas Paraconsistentes ainda não tiveram uma abordagem prática de sua implementação, ou ainda, tais abordagens são muito escassas, seja com dispositivos simples ou com os mais complexos.

Visando uma melhor compreensão da Lógica Paraconsistente, e vislumbrando sua utilização em controle de sistemas dinâmicos utilizando um ramo denominado Lógica Paraconsistente Anotada Evidencial $E\tau$, pressupõe-se um estudo de uma aplicação inicial como forma de desbravar uma nova possibilidade da utilização de uma lógica que vem sendo aplicado com sucesso em Inteligência Artificial no segmento de Controle.

1.1 Hipótese e Relevância do Trabalho

A Lógica Paraconsistente Anotada Evidencial $E\tau$ pode ser utilizada para o controle de sistemas dinâmicos, hipótese esta que confirmada pode elevar ainda mais a sua relevância e elencar mais uma alternativa para aplicações técnicas e científicas.

A lógica paraconsistente vem ganhando relevância e adeptos principalmente a partir do final da década de 90 do século XX, quando houve o Primeiro Congresso Mundial sobre Paraconsistência em Gent na Bélgica em 1997, no ano 2000 o segundo congresso realizado em São Sebastião, São Paulo e o terceiro em Toulouse, França em julho de 2003, atraindo cada vez mais pesquisadores interessados de diversos centros de pesquisa do mundo (KRAUSE, 2004).

Em meados de setembro de 2016, aconteceu o pela primeira vez no Brasil a XVI Conferência Internacional de Lógica: Tendências da Lógica (*Trends In Logic XVI - Studia Logica International Conference*) (BUENO-SOLER; CARNIELLI; TESTA, 2016), realizada pelo Centro de Lógica, Epistemologia e História da Ciência (CLE) da Universidade Estadual de Campinas, que reuniu estudiosos brasileiros e de diversos países com trabalhos e apresentações sob o tema: Consistência, Contradição, Paraconsistência e Racioncínio (*Consistency, Contradiction, Paraconsistency, and Reasoning*).

Atualmente as pesquisas estão focadas no estudo da aplicação da Lógica Paraconsistente, e ganhar espaço no universo técnico e científico, contribuindo com uma nova e eficiente forma de trabalho.

1.2 Objetivo Geral

Estudar a $E\tau$ e desenvolver um algoritmo que possa ser embarcado para atuar no controle dinâmico de um sistema físico.

1.2.1 Objetivos Específicos

Realizar a construção de um sistema físico para o controle de velocidade em um motor DC, de modo a utilizá-lo para a realização dos ensaios.

Desenvolver a malha de controle do sistema físico proposto utilizando o algoritmo da $E\tau$.

1.3 Justificativa

A função primordial do presente trabalho é realizar uma análise da implementação de uma lógica não-convencional, contribuindo para a ampliação do conhecimento em uma nova forma de lidar com o mundo e gerar aplicações em uma área ainda pouco explorada pela $E\tau$, o controle de sistemas.

A visão aristotélica cunhou a forma lógica de lidar com o mundo, estabelecendo regras que permearam a história até o presente momento, mas que, no século XX foram questionadas, procurando-se novas formas e ferramentas para tratar de questões que fogem das regras vigentes. A Lógica Paraconsistente é uma das ferramentas que permite o tratamento de contradições e incertezas, que estão além dos limites da lógica clássica.

A $E\tau$ é a uma vertente da Lógica Paraconsistente que vem sendo explorada para finalidades práticas, tais como o reconhecimento de padrões em banco de dados, tomada de decisão e tratamento de incertezas em sistemas robóticos e logísticos, mas todas as áreas com uma abordagem ligada à Inteligência Artificial ou ao controle discreto do processo, ainda há escassez de trabalhos no controle contínuo de sistemas dinâmicos.

A análise da implementação da $E\tau$ no universo das lógicas não-convencionais implica em possibilitar uma nova forma de controle de sistemas, sua definição permite um embasamento para criar novas possibilidades de seu uso, e ajudar a sedimentar a nova ferramenta no meio acadêmico.

1.4 Organização da Dissertação

2. Revisão Bibliográfica

A modificação, de forma controlada, no comportamento de um sistema, garantindo uma maior eficiência é o objetivo do controle de sistemas, que é estudado desde os antigos, mas que obteve grande relevância na necessidade trazida com a revolução industrial, e hoje conta com o seu segmento específico da engenharia, com diversos trabalhos nessa área e uma infinidade de aplicações.

A principal tarefa de um engenheiro é, segundo DORF; BISHOP(2011), "o processo de concepção ou invenção de formas, partes e detalhes de um sistema para alcançar um propósito específico", processo este que soma a grande capacidade de análise e a criatividade para atender as demandas da função, como é o caso de projeto em engenharia no segmento de Sistemas de Controle, cujo objetivo é obter a configuração, as especificações e a identificação de processos para atender uma necessidade real.

Uma concepção semelhante é trazida por NISE(2009) onde "Um sistema de controle consiste em subsistemas e processos(ou plantas) construídos com o objetivo de se obter uma saída desejada com desempenho desejado para uma entrada específica fornecida".

Os sistemas de controle atuam basicamente gerando respostas específicas para estímulos específicos de forma controlada e automática, trazendo vantagens nas aplicações em diversas áreas, tais como, na movimentação de grandes equipamentos com precisão, em locais remotos ou perigosos, na compensação de perturbações, manipulando os dados de forma conveniente.

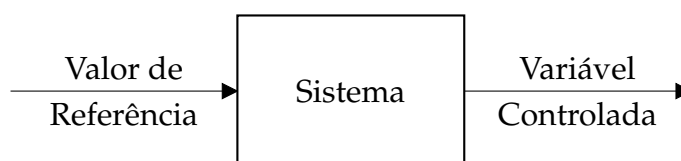
2.1 Diagrama de Blocos

Os sistemas de controle são geralmente representados através de diagramas de blocos ou fluxo de sinais, como na Figura 2.1, convenientes ao seu desenvolvimento e

análise. É composto por uma caixa representando o sistema a ser controlado, setas no sentido da caixa representando as entradas do processo e setas no sentido para fora da caixa para indicar a saída do sistema.

Em um sistema real podem haver muitas variáveis de entrada e de saída, mas a abordagem clássica de controle isola apenas uma das variáveis de entrada e uma de saída, ficando o sistema conhecido pela sigla em inglês SISO (*Single In Single Out* - Única Entrada e Única Saída).

Figura 2.1: Diagrama de blocos de sistema de controle



Fonte: (OGATA, 2010)

O diagrama de blocos mostrado na Figura 2.1 é uma simplificação ao máximo de um sistema de controle, contém apenas o bloco representando o sistema, uma entrada, para o valor de referência, e uma saída com o valor da variável controlada.

Em OGATA(2010) são encontradas definições, comentários sobre vantagens, aplicações e procedimento para construção de Diagramas de blocos, assim como a representação de sistemas em malha aberta, malha fechada, perturbações, técnicas e regras da álgebra de blocos.

2.2 Ação de Controle

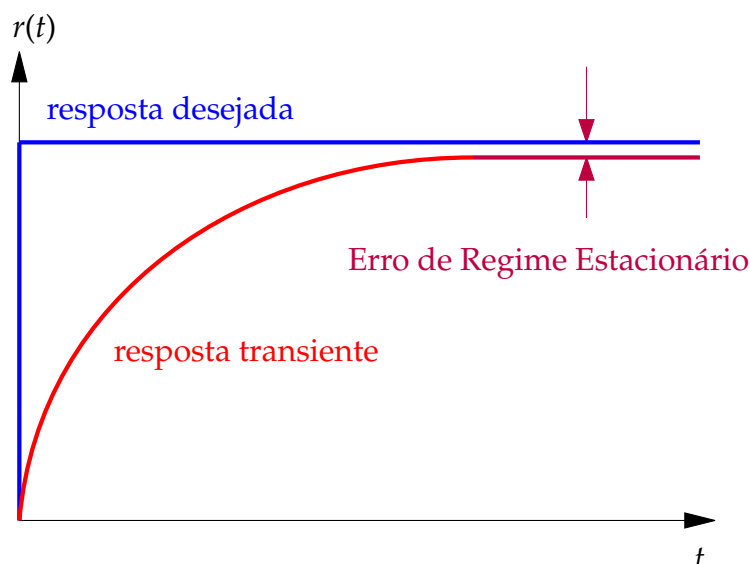
A ação de controle é a forma como se busca atender os chamados requisitos de desempenho do sistema, que de um modo geral se efetuam através de modificações das características da relação entrada/saída para se obter os valores desejados dessa relação, ou ainda ajustar o comportamento da saída para uma dada entrada específica.

Os principais e mais comuns requisitos de desempenho dos sistemas são associados a velocidade de resposta, presença ou não de oscilações na estabilização e a exatidão da resposta do sistema em relação ao valor desejado, chamada de erro de regime estacionário.

O erro de regime estacionário, mostrada na Figura 2.2, é uma medida que vai tender a zero em sistemas ideais, mas que na realidade não alcança o valor zero, assim assume-se um valor aceitável, 5% do valor da resposta desejada para sistemas não

críticos e 2% para sistemas de maior grau de criticidade, para assumir que o sistema entrou em estabilidade, e a resposta real é aceita como tendo atingido o valor de resposta desejada.

Figura 2.2: Gráfico da função Resposta



Fonte: (DORF; BISHOP, 2011)

Para realizar o controle de um sistema é necessário que estejam bem definidos os seus requisitos, que são os objetivos a serem atendidos. Quando um sistema por si só já atende aos requisitos, não há a necessidade de controle. De forma oposta, é projetado o sistema de controle, que pode ser em malha aberta ou fechada, clássico ou moderno, convencional ou não-convencional, dependendo das características físicas do sistema.

Para a execução de um sistema de controle podem ser verificados requisitos do sistema de duas formas básicas, sendo a primeira através dos testes e levantamento empírico da sua curva de resposta ou através de seu modelo matemático, quando trabalha-se com elementos já bem estudados e com a equação que representa seu comportamento empírico bem estabelecida por diversos estudos anteriores.

Em DORF; BISHOP(2011) é abordado o controlador PID, uma das principais soluções e a mais encontrada em aplicações industriais segundo OGATA(2010), que trata do mesmo tema e as versões de PID modificados no Capítulo 10 de seu trabalho. Ações de controle do tipo PID são responsáveis por controlar a planta e atender aos requisitos de desempenho desejados ao sistema.

2.3 Controle Moderno Não Convencional

Lógica Paraconsistente

O controle moderno trata de sistemas multivariáveis, não lineares ou variantes no tempo de forma mais apropriada do que o controle clássico, reduzindo a complexidade das expressões para que haja a possibilidade de um processamento satisfatório. Dentro do universo do controle moderno, existe ainda o controle convencional que utiliza a análise de sistemas de controle no espaço de estados, que utiliza n -equações de primeira ordem combinadas em uma equação diferencial vetor-matricial, de forma a simplificar e possibilitar o trabalho com uma quantidade de variáveis alta sem que haja um grande impacto no processamento. (OGATA, 2010) Existem ainda o controle não convencional, que também é classificado como controle moderno e que apresenta uma grande diversidade de técnicas, tais como o controle adaptativo, algoritmo adaptativo e genético, redes neurais, as lógicas Fuzzy e Paraconsistente, esta última sendo o alvo da abordagem do presente trabalho, entre outras.

A lógica, como ramo filosófico que trata das relações de coerência racional e discursiva, proposições e conclusões, tem como origem a Grécia Antiga com o seu primeiro arranjo formal em *Tópicos* de Aristóteles por volta de 340 a.C. Apesar de suas bases serem conhecidas e discutidas por diversos pensadores anteriores, não havia a formalização de uma teoria bem fundada, apenas o tratamento de ideias como consistência e consequências da contraditoriedade por exemplo.

Os princípios da lógica enunciadas por Aristóteles são basilares para a teoria clássica e moldaram o pensamento e a noção de consistência, ou não contraditoriedade, estreitamente conectadas ao conceito de completude e podem ser descritos formalmente assim:

1. Princípio de Identidade: $A \rightarrow B$ ou $\forall x(x = x)$;
2. Princípio do Terceiro Excluído: $A \vee \neg A$ ou $\forall x(Ax \vee \neg Ax)$;
3. Princípio da Não Contradição: $\neg(A \wedge \neg A)$ ou $\forall x\neg(Ax \wedge \neg Ax)$.

O grande desenvolvimento da lógica, principalmente nos séculos XIX e XX, forneceu ferramental para caracterização e tratamento preciso da lógica clássica e também possibilitou o desenvolvimento de sistemas lógicos não clássicos, rearranjos, experimentações e questionamentos de dogmas secularmente estabelecidos.

Uma questão que já havia sido objeto de estudo por diversos pensadores desde os

pré-socráticos, como Heráclito e sua doutrina da harmonia dos opostos, é a questão da contradição, que por vezes incomodou-os mas que nunca havia sofrido um tratamento formal como o desenvolvido por Newton C. A. da Costa(1929-presente data) e Stanislaw Jaskiowski(1906-1965), que propuseram e desenvolveram sistemas lógicos que fossem capazes de lidar com essas inconsistências (KRAUSE, 2004).

Ao restringir-se o princípio da não contradição, em um certo sistema lógico, obtém-se um resultado que pertence à lógica denominada Paraconsistente, desenvolvida por da Costa e Jaskiowski.

Assim sendo, para uma dada teoria, se houver um símbolo de negação, como por exemplo " \neg ", se em qualquer fórmula fechada A não for demonstrável A e $\neg A$, a teoria é consistente (não contraditória), senão, ela é inconsistente(contraditória).

Teoria é definida por GOMES(2013 p.4) como sendo:

...um conjunto de fórmulas(expressões bem formuladas) de uma linguagem, fechadas por uma determinada relação de consequência, que caracteriza a lógica subjacente à teoria, da qual ela herda todas as suas características estruturais como, por exemplo, consistência(não contraditoriedade) e completude.

Na lógica clássica, uma teoria é completa, se e somente se, for consistente para toda a fórmula fechada A onde A e $\neg A$ é teorema da teoria e a teoria é trivial ou supercompleta se todas as fórmulas expressáveis forem demonstráveis, tanto A quanto $\neg A$.

Sendo que toda a lógica paraconsistente, não se pode deduzir qualquer fórmula à partir de uma fórmula A e sua negação $\neg A$, mostrando assim que as noções de inconsistência (contraditoriedade) e trivialidade são de fato independentes.

2.3.1 Reticulado de Hasse

A Lógica Paraconsistente sendo apropriada para tratar dados inconsistentes foi utilizada em 1987, por H. Blair e V. S. Subrahmanian para representar e codificar o funcionamento de bancos de dados inconsistentes. Pouco depois Costa, Subrahmanian e Vago propuseram a lógica paraconsistente anotada e sua extensão a uma lógica de predicados paraconsistente anotada de primeira ordem.

Nas Lógicas Paraconsistentes Anotadas, uma proposição P utiliza um reticulado formado por pares ordenados tal que:

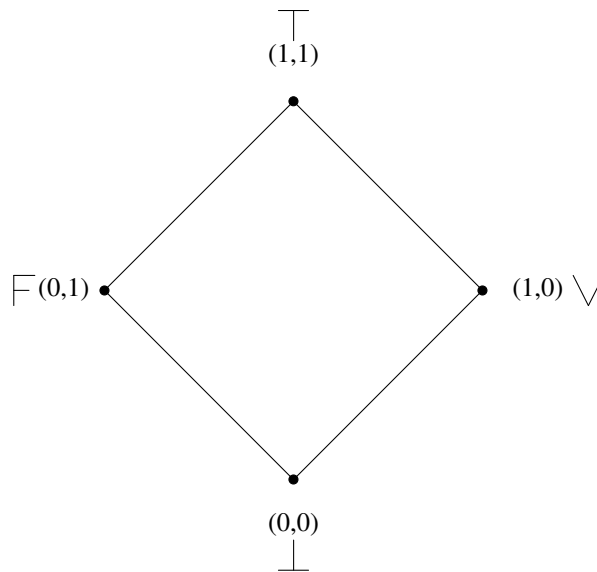
$$\tau = \{(\mu, \lambda) \mid \mu, \lambda \in [0, 1] \subset \mathfrak{R}\} \quad (2.1)$$

de acordo com graus de cresça das constantes anotacionais do reticulado de Hasse, associado à Lógica Paraconsistente Anotada de anotação com dois valores (LPA2v), formalmente descritas como

$$\tau = \{\top, V, F, \perp\} \quad (2.2)$$

os quais descrevem os extremos do reticulado como sendo inconsistente, verdadeiro, falso e paracompleto, respectivamente, e são representadas conforme Figura 2.3;

Figura 2.3: Reticulado finito de Hasse



Fonte: (DA SILVA FILHO, 2006)

Para toda proposição P há um par de valores, chamada de anotação, (μ, λ) , onde μ é o grau de evidência favorável e λ é o grau de evidência desfavorável, representada como $P_{(\mu, \lambda)}$.

Como exemplificação, para uma proposição $P \equiv "A \text{ velocidade de rotação do motor atingiu o valor desejado}."$, assume-se dois especialistas para realizarem a leitura dos valores da anotação. Em um sistema físico, os especialistas geralmente são sensores, como neste caso, poderia ser um encoder ou sensor óptico como contador de voltas associado a uma base de tempo.

- μ = grau de evidência favorável (especialista 1), ou seja, com quanto de certeza, em um intervalo fechado $[0, 1]$, sendo 0 para grau nulo de certeza e 1 grau máximo de certeza para a dada proposição P ;
- λ = grau de evidência desfavorável (especialista 2), ou seja, com quanto de certeza, em um intervalo fechado $[0, 1]$, sendo 0 o grau nulo de certeza à evidência desfavorável e 1 o grau máximo de certeza à evidência desfavorável para a dada proposição P .

Assim, podemos interpretar da seguinte forma os valores da anotação para as posições extremas do reticulado finito de Hasse:

- $(\mu, \lambda) = (1, 0)$: Há um grau de evidência favorável total e um grau de evidência desfavorável nulo, ou seja, a afirmação da proposição é máxima e sua negação é nula, assim, P é *Verdadeira* e *A velocidade de rotação do motor atingiu o valor desejado*;
- $(\mu, \lambda) = (0, 1)$: Há um grau de evidência favorável nulo e um grau de evidência desfavorável máximo, ou seja, a afirmação da proposição é nula e sua negação é máxima, assim, P é *Falsa* e *A velocidade de rotação do motor não atingiu o valor desejado*;
- $(\mu, \lambda) = (1, 1)$: Há um grau de evidência favorável máximo e também um grau de evidência desfavorável máximo, ou seja, a afirmação da proposição é máxima e sua negação também é máxima, assim, P é *Inconsistente* e *A velocidade de rotação do motor atingiu e não atingiu o valor desejado*, contradição;
- $(\mu, \lambda) = (0, 0)$: Há um grau de evidência favorável nulo e também um grau de evidência desfavorável nulo, ou seja, a afirmação da proposição é nula e sua negação também é nula, assim, P é *Indeterminada* e *A velocidade de rotação do motor nem atingiu o valor desejado e nem não atingiu o valor desejado*, situação paracompleta.

Os graus de evidência podem assumir valores não extremos:

- $(\mu, \lambda) = (0.8, 0.3)$: Crê-se com grau de evidência favorável de 80% e um grau de evidência desfavorável de 30% que *A velocidade rotação do motor atingiu do valor desejado*.

Existe um operador de negação (\sim) sobre τ de forma que :

$$\sim: | \tau | \mapsto | \tau, \sim (\mu, \lambda) = (\lambda, \mu) \quad (2.3)$$

Então,

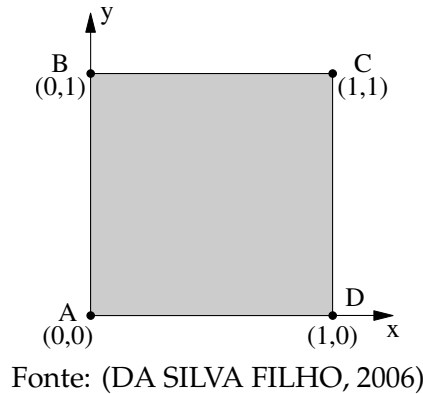
$$P_{(0.8,0.3)} \leftrightarrow \sim P_{(0.3,0.8)} \quad (2.4)$$

- $(\mu, \lambda) = (0.8, 0.3) = \sim (0.3, 0.8)$: Não crê-se que há um grau de evidência favorável de 30% e um grau de evidência desfavorável de 80% que *A velocidade de rotação do motor atingiu do valor desejado*.

2.3.2 Quadrado Unitário no Plano Cartesiano - QUPC

Uma outra forma de representação da anotação é utilizando o Quadrado Unitário no Plano Cartesiano (QUPC) no qual são transpostos os pontos extremos às respectivas posições de acordo com o par ordenado, $(\mu, \lambda) \leftrightarrow (x, y)$, assim o eixo x corresponde ao grau de evidência favorável e o eixo y corresponde ao grau de evidência desfavorável, conforme mostrado na Figura 2.4.

Figura 2.4: Representação do reticulado no quadrado unitário no plano cartesiano



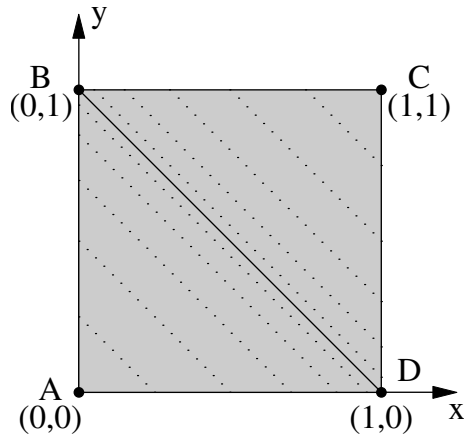
Os pontos extremos assim representam:

- $A : (0, 0) = \perp \Rightarrow$ Paracompleto;
- $B : (0, 1) = F \Rightarrow$ Falso;
- $C : (1, 1) = \top \Rightarrow$ Contradição;
- $D : (1, 0) = V \Rightarrow$ Verdade.

O segmento de reta \overline{BD} , entre os pontos referentes às condições *Verdade* e *Falso*, conforme mostrado na Figura 2.5, é denominada de *Reta Perfeitamente Definida* e dada

uma anotação (μ, λ) situada nela, a soma das evidências anotadas é sempre o valor unitário do quadro.

Figura 2.5: Representação da Reta Perfeitamente Definida



Fonte: (DA SILVA FILHO, 2006)

A relação dos graus de evidência da anotação quando coincidente à Reta Perfeitamente Definida é:

$$\mu + \lambda = 1 \quad (2.5)$$

Assim, temos que:

$$\mu + \lambda - 1 = 0 \quad (2.6)$$

Os graus de evidência não precisam apresentar valores complementares, possuem independência entre si, assim das Equações 2.5 e 2.6 é elaborado o conceito de *Grau de Contradição* (G_{ct}), e temos que:

$$G_{ct} = \mu + \lambda - 1 \quad (2.7)$$

pois quanto mais próximo da Reta Perfeitamente Definida, menor é o grau de contradição apresentado pelos graus de evidência, sendo zero quando não houver contradição e o ponto de anotação situar-se sobre a Reta Perfeitamente Definida. Quanto mais afastado da Reta Perfeitamente Definida estiver o ponto de anotação,

e mais próximo aos pontos A ou C, maior é o Grau de Contradição.

Quando a anotação estiver situada na região entre os pontos BCD, acima da reta perfeitamente definida, o Grau de Contradição é denominado *Grau de Inconsistência* (G_{it}), e isso ocorre quando, $\mu \geq \lambda$, de forma oposta, quando $\mu < \lambda$ a anotação está situada na região entre os pontos BAD, abaixo da reta perfeitamente definida, e o grau de contradição é denominado *Grau de Indefinição* (G_{id}), então pode-se dizer que:

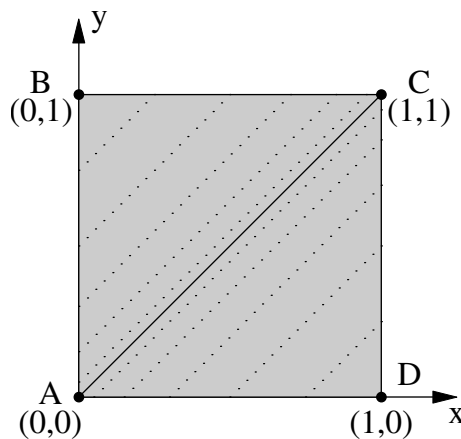
$$-1 \leq G_{id} < 0 \leq G_{it} \leq 1 \quad (2.8)$$

e

$$-1 \leq G_{ct} \leq 1 \quad (2.9)$$

O segmento de reta \overline{AC} , entre os pontos referentes às condições *Paracompleto* e *Contradição*, conforme mostrado na Figura 2.6, é denominada de *Reta Perfeitamente Indefinida* e dada uma anotação (μ, λ) situada nela, a subtração das evidências anotadas é sempre zero, $\mu = \lambda$, e de forma contrária, quando a anotação está posicionada de forma não coincidente à Reta Perfeitamente Indeterminada, significa que $\mu \neq \lambda$.

Figura 2.6: Representação da Reta Perfeitamente Indefinida



Fonte: (DA SILVA FILHO, 2006)

A relação dos graus de evidência para uma anotação cuja posição coincide com a Reta Perfeitamente Indefinida é:

$$\mu - \lambda = 0 \quad (2.10)$$

De forma análoga ao Grau de Contradição, da Equação 2.10 é elaborado o conceito de *Grau de Certeza* (G_c), assim temos que:

$$G_c = \mu - \lambda \quad (2.11)$$

Quando os graus de evidência, favorável e desfavorável, são iguais, não há certeza em relação à proposição, mas quando são diferentes, alguma certeza pode ser inferida, até a condição máxima onde uma das evidências é total (1) e a outra é nula (0), caracterizando a condição verdadeira ou falsa, afastando o ponto anotado da Reta Perfeitamente Indefinida.

Quando a anotação situa-se entre os pontos ABC do QUPC, o grau de certeza é denominado *Grau de Falsidade* (G_f), e tal condição ocorre quando $\mu < \lambda$, caso contrário, se $\mu \geq \lambda$, a anotação situa-se entre os pontos ACD do QUPC, e o grau de certeza é denominado *Grau de Verdade* (G_v), então pode-se dizer que:

$$-1 \leq G_f < 0 \leq G_v \leq 1 \quad (2.12)$$

e

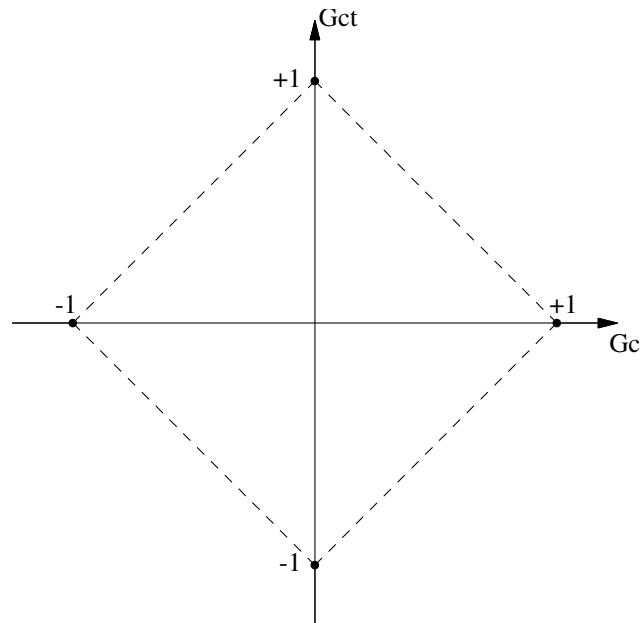
$$-1 \leq G_c \leq 1 \quad (2.13)$$

Graficamente são representadas como mostra a Figura 2.7:

A representação ainda é dividida em algumas partes, dependendo da aplicação, estabelecendo quais são os limites que definem cada estado, Verdadeiro, Falso, Paracompleto, Contradição e outros mais que forem pertinentes à aplicação, estão representados pelas linhas tracejadas na Figura 2.8 e são definidos como:

- V_{sc} : Valor limite superior de Controle de Certeza;

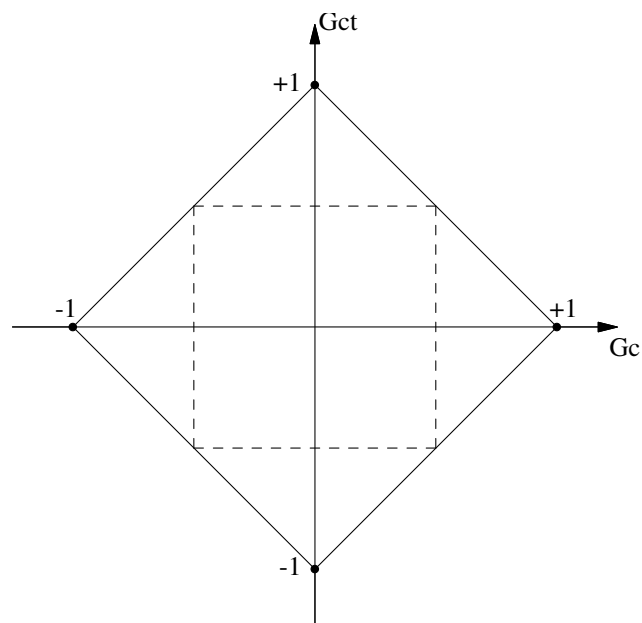
Figura 2.7: Representação dos Graus de Certeza e Contradição em um plano cartesiano



Fonte: (DA SILVA FILHO, 2006)

- V_{icc} : Valor limite inferior de Controle de Certeza;
- V_{sci} : Valor limite superior de Controle de Incerteza;
- V_{sci} : Valor limite inferior de Controle de Incerteza.

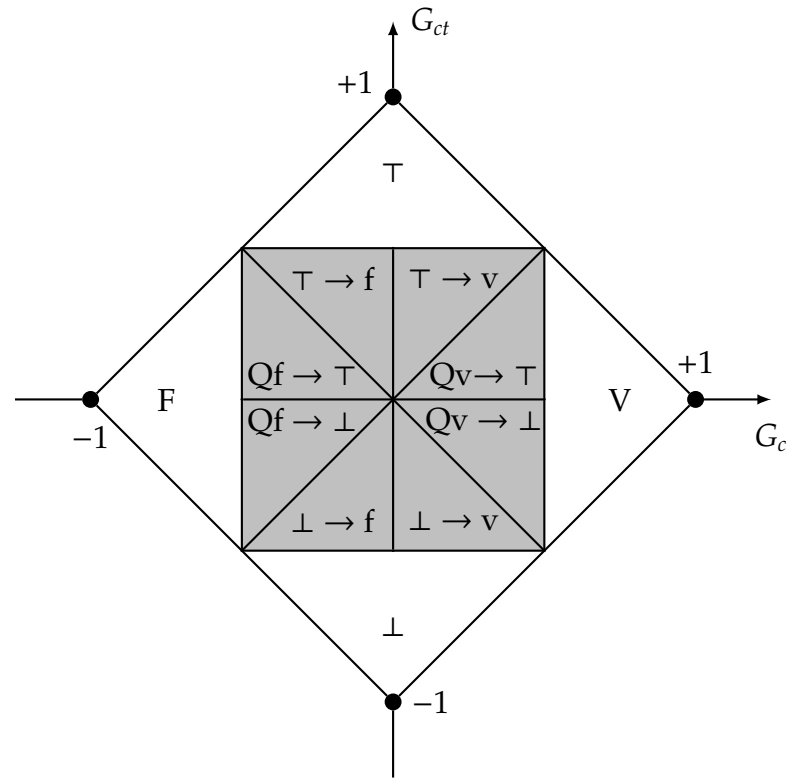
Figura 2.8: Representação dos valores de controle



Fonte: (DA SILVA FILHO, 2006)

Uma divisão em 12 partes é mostrada na Figura 2.9 com seus respectivos estados intermediários definidos conforme DA SILVA FILHO(2006), sendo 4 regiões extremas:

Figura 2.9: Representação do reticulado da LPA2v subdividido em 12 regiões



Fonte: (DA SILVA FILHO, 2006)

- V : Verdadeiro;
- F : Falso;
- T : Contradição;
- \perp : Paracompleto.

e 8 regiões intermediárias:

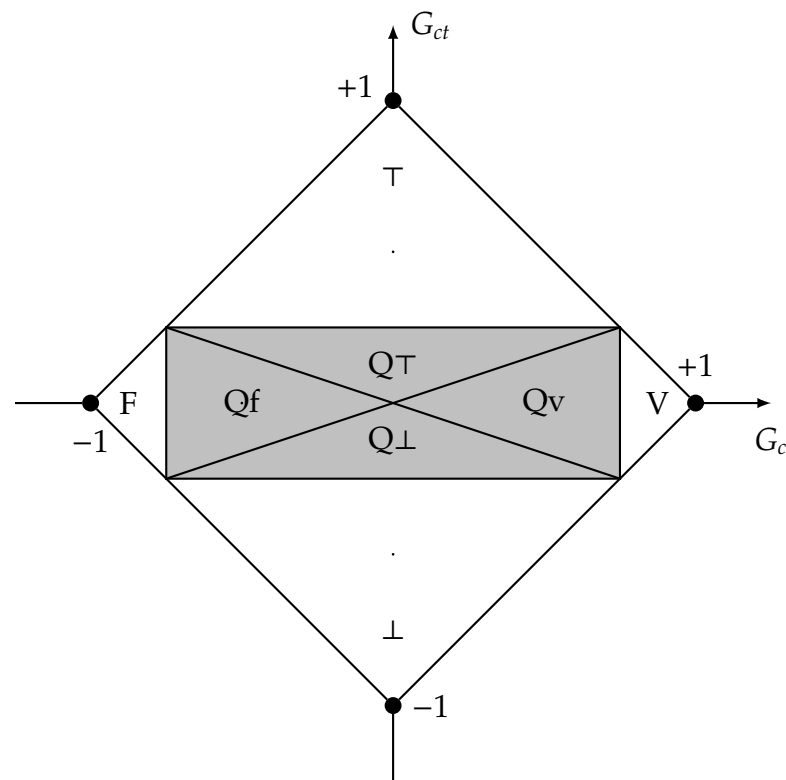
- $Qv \rightarrow T$: Quase Verdade tendendo à Contradição;
- $Qv \rightarrow \perp$: Quase Verdade tendendo à Paracompleto;
- $Qf \rightarrow T$: Quase Falso tendendo à Contradição;
- $Qf \rightarrow \perp$: Quase Falso tendendo à Paracompleto;
- $T \rightarrow f$: Contradição tendendo à Falso;
- $T \rightarrow v$: Contradição tendendo à Verdadeiro;
- $\perp \rightarrow f$: Paracompleto tendendo à Falso;

- $\perp \rightarrow v$: Paracompleto tendendo à Verdadeiro.

O reticulado subdividido em 12 regiões como mostrado, é aplicado em situações nas quais a tomada de decisão utiliza estados discretos bem definidos para atuação, onde para cada posição da anotação e respectivamente um estado do reticulado, uma ação é tomada, assim sendo, a quantidade de subdivisões está fortemente dependente da aplicação.

O reticulado pode ser dividido de outras formas, dependendo dos limites dos Graus de Certeza e Contradição que o sistema permite. A Figura 2.10 mostra uma das possibilidades com a representação de 8 regiões do reticulado.

Figura 2.10: Representação do reticulado da LPA2v subdividido em 8 regiões



Fonte: Próprio autor

Sendo 4 regiões extremas,

- V : Verdadeiro;
- F : Falso;
- \top : Contradição;
- \perp : Paracompleto.

e 4 regiões intermediárias:

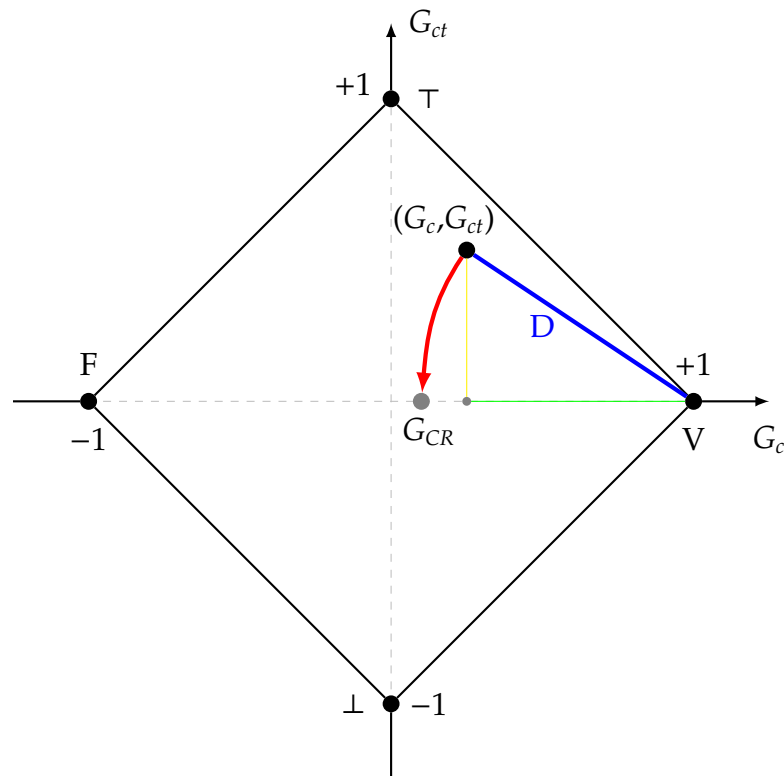
- Qv: Quase Verdade;
- Qf: Quase Falso;
- QT: Quase Contradição;
- Q⊥: Quase Paracompleto.

É possível e desejável que se possa utilizar um valor resultante que exclua os efeitos das incertezas ou contradições, como é citado por ABE; FILHO; TORRES(2008):

“Um sistema de decisão capaz de analisar dados originários de Conhecimento Incerto terá maior robustez quando, ao final da análise, apresentar um resultado que represente o valor de certeza puro, isto é, não contaminado pelos efeitos das incertezas.”

O valor que elimina o efeito da incerteza é denominado *Grau de Certeza Real* - G_{CR} e é calculado pela distância (D) do Ponto de análise, (G_c, G_{ct}) , em relação ao ponto de máximo Grau de Certeza V, no vértice direito do reticulado, conforme mostrado na Figura 2.11.

Figura 2.11: Representação do Grau de Certeza Real no reticulado



Fonte: (ABE; FILHO; TORRES, 2008)

O Grau de Certeza Real (G_{CR}) é calculado utilizando o Teorema de Pitágoras para achar a distância D conforme Equação 2.14.

$$D = \sqrt{(1 - |G_c|)^2 + G_{ct}^2} \quad (2.14)$$

Para valores de $G_c \geq 0$:

$$G_{CR} = (1 - D) \quad (2.15)$$

Para valores de $G_c < 0$:

$$G_{CR} = (D - 1) \quad (2.16)$$

Tanto o Grau de Evidência Real quanto os estados ou regiões do reticulado podem ser utilizados para realizar o controle dos mais diversos tipos de sistemas, dependendo apenas do tipo de controle e de sistema que deve ser implementado.

2.3.3 A LPA2v aplicada em Controle

Os Sistemas Inteligentes estão cada vez mais presentes em diversas aplicações modernas, e segundo DA SILVA FILHO; ABE(2011), há um predomínio de Lógicas Não-Clássicas no suporte à tomada de decisão desses sistemas. O sucesso na aplicação de técnicas como a LPA2v, que é uma extensão da Lógica Paraconsistente Anotada, se dá em grande medida pelo uso de algoritmos baseados em estudos dos reticulados representativos e efetiva tradução matemática gerando um modelo eficiente aplicado em situações reais.

Assumindo que a lógica filosófica trata da descrição formal da linguagem natural e define a sua estrutura de declaração, então, sendo encontrada a linguagem adequada é possível traduzir o raciocínio formal em LPA, modelando raciocínios com a possibilidade de tratar contradições ou incoerências, e trabalhar com situações reais, da mesma forma que o Modelo Clássico, que aplica regras computacionais, a LPA2v possui um conjunto de axiomas e regras de inferência que possibilitam um raciocínio válido em situações reais.

Robótica

Os algoritmos baseados no estudo do Reticulado Representativo gera Estados Lógicos Paraconsistentes através da descrição do algoritmo Para-Analisador da LPA2v, possibilitando que o sistema receba informação através dos graus de evidência (μ , λ), processe os graus de certeza e contradição (G_c e G_{ct}) e chegue a uma conclusão, de alta contradição e busque por mais dados ou um alto grau de certeza, que de um modo geral, implica em tomar uma ação.

Os Graus de Certeza e Contradição podem gerar um Grau de Certeza Real, que pode servir de entrada para outra célula ou Nó de Análise Paraconsistente (NAP), possibilitando uma rede de análises para a tomada de decisão, como apresentado pelo Professor Dr. João Inácio da Silva Filho com a construção do Robô Emmy, desenvolvendo e aplicando tais técnicas aplicadas ao sistema de movimentação.

Engenharia de Produção

A LPA2v pode ser aplicada em diversas áreas sendo um outro exemplo a sua aplicação na área de Eng. de Produção, como é mostrado no artigo de CARVALHO; BRUNSTEIN; ABE(2003), que mostram um estudo para avaliação do projeto de uma fábrica, como são selecionadas as variáveis relevantes, ou fatores, como são chamados, níveis de exigência para tomada de decisão, atribuição de pesos aos fatores de decisão, para obtenção dos graus de crença e descrença. Construção de uma base de dados, sua pesquisa e obtenção dos resultados. Análise dos resultados e fidedignidade utilizando um Método de Análise pelo Baricentro.

Logística

No segmento logístico pode-se citar a dissertação do Profº Me. Vander Célio Nunes ((NUNES, 2015)), que aplicou a LPA2v ao processo de paletização através da medição de peças e do tratamento de incertezas relacionadas a possibilidade de seu depósito ou encaixe na pilha de palets, levando à otimização de cargas armazenadas em um determinado espaço. O seu trabalho, utilizando uma célula de manufatura com um braço robótico industrial, permite a extrapolação da sua aplicação para portos e armazens de containers.

Sistema de Controle Híbrido

No segmento de controle, a LPA2v é utilizada em conjunto com um sistema Proporcional-Integral - PI de modo que as ações convencionais são executadas pelo bloco PI, mas são estruturadas utilizando a LPA2v no tratamento dos sinais externos. A implementação é feita por COELHO(2015) em uma planta de controle de nível e um controlador lógico programável. O sistema Híbrido é posto em operação e comparado com técnicas consagradas como o controle puramente PI, ajustado com o método de Ziegler-Nichols e com o método interno do controlador.

3. Metodologia

A construção dos sistema de controle possui de um modo geral três grandes etapas, segundo DORF; BISHOP (2011), sendo a primeira o momento de estabelecimento dos objetivos, das variáveis de controle e especificações do sistema. Em um segundo momento é estabelecida a configuração do sistema e é gerado um modelo do sistema a partir dos modelos de suas partes. Finalmente é feito o desenvolvimento do controle do sistema, simulação e análise. Caso o sistema ainda não atenda os requisitos, uma nova interação deve ser executada partindo do segundo momento.

Objetivando a utilização da LPA2v como um controlador para um sistema dinâmico, e considerando algumas particularidades do projeto proposto, faz-se necessário:

- Construir um sistema de controle físico;
- Obter um modelo do processo;
 - Estabelecer os objetivos do controle;
 - Identificar a variável a ser controlada;
- Estudar a LPA2v;
- Implementar um controlador utilizando LPA2v;
 - Estabelecer a configuração do sistema;
 - Descrever o controlador e parâmetros de ajuste;
- Otimizar parâmetros e analisar performance;

3.1 A construção do sistema de controle físico

O sistema físico escolhido para o controle foi um motor de corrente contínua, pelo fato de possuir um controle de velocidade simples, bastando alterar a tensão aplicada aos terminais de alimentação, o que geralmente é feito utilizando modulação por largura de pulso (PWM) da tensão de alimentação.

Figura 3.1: Motor DC



Fonte: Próprio autor

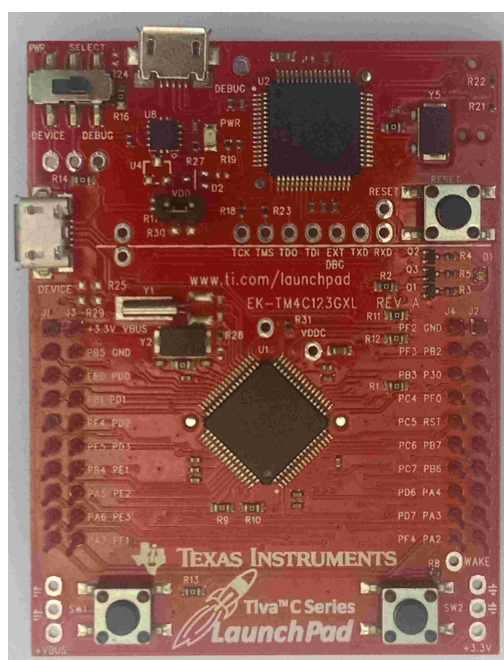
Diferente de sistemas fluídicos, as dimensões do protótipo podem ser pequenas, possibilitando uma montagem de uma pequena área em bancada e fácil transporte ou ainda comparando com sistemas térmicos, o tempo de resposta é rápida, possibilitando um tempo de testes pequeno e aquisições mais rápidas ao longo do desenvolvimento do projeto.

Para o estudo proposto foi escolhida uma placa de desenvolvimento da Texas Instruments de modelo TivaTM TM4C123GH6PM, devido ao fato de que ela possui um controlador de 32bits, núcleo ARM, e permite operações utilizando ponto flutuante, entre outras características como elencadas a seguir:

- Núcleo (Core): ARM Cortex-M4F;
- Performance: 80 MHz em operação;
- Flash: 256 KB;
- Interface de comunicação:
 - Universal Asynchronous Receivers/Transmitter(UART);

- Inter-Integrated Circuit (I²C);
- Universal Serial Bus (USB);
- Periféricos:
 - General-Purpose Input/Output (GPIO);
 - General-Purpose Timer (GPTM);
 - Módulo PWM: Pulse Width Modulator (PWM);

Figura 3.2: Placa de desenvolvimento: microcontrolador com núcleo ARM-Cortex M4



Fonte: Próprio autor

A programação do firmware, que irá embarcar o sistema de controle, será feita utilizando ferramentas em software livre, inclusive o sistema operacional GNU/Linux Debian 8, programação em linguagem C utilizando o compilador dedicado para microcontroladores de núcleo ARM, Cross GNU ARM (arm-none-eabi-gcc), assim como editor de texto Vim, terminal de comunicação Minicom, processador de gráficos GNUPlot e processador de texto L^AT_EX.

3.2 Obter um modelo do processo

Obter a curva de comportamento do sistema para estabelecer a função de transferência do sistema, e com isso, estabelecer os objetivos do controle e identificar a

variável a ser controlada.

A obtenção da curva característica se dá pela aquisição sucessiva do intervalo de cada rotação, mensurado a partir de um contador de tempo configurado adequadamente.

O objetivo do desenvolvimento proposto, é realizar o controle da velocidade de rotação do disco acoplado ao eixo do motor, de forma a garantir que o curva característica de velocidade apresente tempo de subida igual ou menor do que um quinto do tempo em malha aberta, sobressinal de no máximo 10% e erro de regime estacionário inferior a 5%, valores estes que atendem as expectativas iniciais para uma primeira implementação.

A variável controlada é a velocidade angular na forma de rotações por segundo (rps) e a variável manipulada é a tensão média aplicada ao motor através da técnica de Modulação por Largura de Pulso, do inglês *Pulse Width Modulation* - PWM.

Assumindo que o sistema físico não tem uma aplicação crítica, é razoável propor um erro de 5% para o modelo da planta, principalmente por se tratar de uma primeira abordagem proposta, sendo o intuito principal estabelecer um algoritmo ou modelo utilizando a LPA2v que atenda minimamente os requisitos de desempenho do sistema.

3.3 Estudar a LPA2v

Baseado em trabalhos acadêmicos, artigos e livros sobre o assunto, compreender como é feita a implementação da LPA2v em tomadas de decisão contendo estados bem definidos.

3.4 Implementar um controlador utilizando LPA2v

Implementar um controlador simples, utilizando o modelo com reticulado com subdivisões, conforme trabalhos estudados.

Alterar a tomada de decisão do controlador baseado em estados, por um controlador que calcula a distância entre o ponto de operação e a referência, que é a extremidade com grau de certeza máximo, e atuar sobre o sistema de forma proporcional a essa distância.

3.4.1 Estabelecer a configuração do sistema

Estudar parâmetros necessários e limitações de configuração do controlador.

3.4.2 Descrever o controlador e parâmetros de ajuste

Descrever em detalhes o funcionamento do controlador e estabelecer regras e sequencia de variáveis a serem parametrizadas para que o modelo do controlador possa ser reproduzido em outros momentos e situações.

3.5 Otimizar parâmetros e analisar performance

Verificar empiricamente se os valores testados estão adequados aos requisitos de desempenho do sistema que foram previamente estabelecidos.

4. Resultados Preliminares

4.1 Construção de um sistema físico para controle

O sistema físico, ou protótipo, foi desenvolvido utilizando a placa de desenvolvimento da Texas Instruments, modelo *Tiva™* TM4C123GH6PM, drive para acionamento do motor utilizando PWM, motor DC acoplado a um CD, com uma etiqueta, Figura 4.1a, para acionar o sensor óptico e servir de indicador para contagem de giros do motor. Fonte de alimentação chaveada de 12V 10W. A maior parte do sistema pode ser visto na Figura 4.1b .

Figura 4.1: Visão geral do sistema

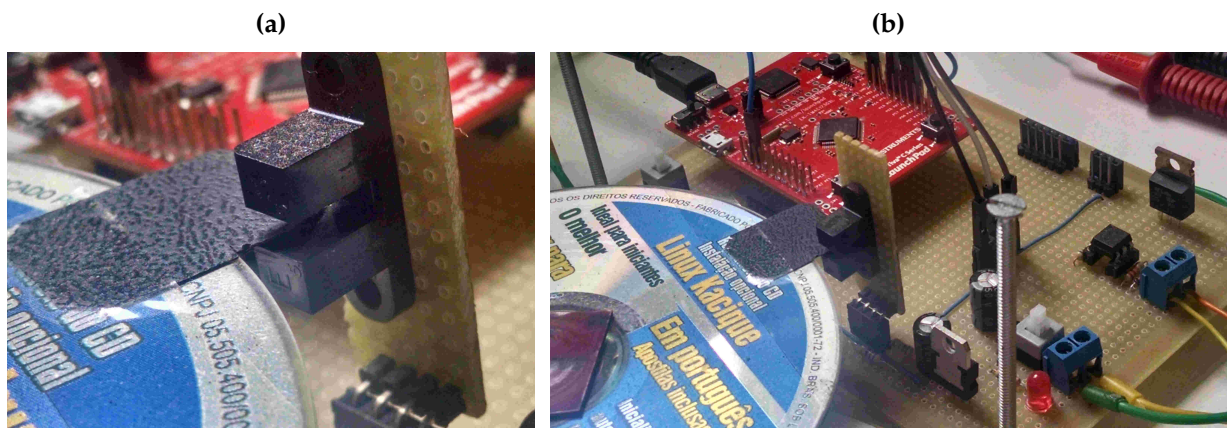


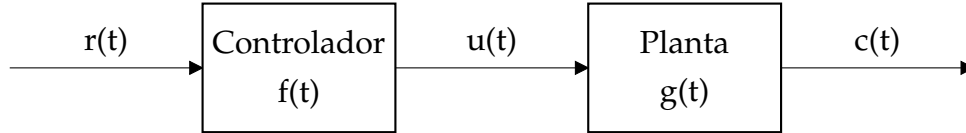
Figure: Próprio autor

4.2 Obtenção de um modelo do processo

Para melhor compreensão dos modelos dinâmicos dos sistemas, é utilizado o Diagrama de blocos do comportamento do sistema em malha aberta, conforme Figura 4.2(OGATA, 2010).

Utilizando variáveis para cada elemento do Diagrama de blocos, de forma a representá-los nas equações, temos então que:

Figura 4.2: Sistema de controle em malha aberta



Fonte: Próprio autor

Onde:

$r(t)$: Valor de Referência em rotações por segundo [rps];

$f(t)$: Controlador que converte rps em % PWM para acionar o motor;

$u(t)$: Variável Manipulada é o valor percentual do PWM;

$g(t)$: Planta ou Processo formado pelo motor DC com o disco acoplado no eixo;

$c(t)$: Variável Controlada é a velocidade de rotação do eixo em rps.

O sistema físico aqui estudado possui comportamento exponencial que pode ser descrito pela equação 4.1.

$$\frac{dc(t)}{dt} + c(t) = r(t) \rightarrow \mathcal{L} \rightarrow \frac{C(s)}{R(s)} = \frac{K}{s + a} \quad (4.1)$$

Onde:

t : tempo, $r(t) = 0$, para $t < 0$;

\mathcal{L} : Operador de Laplace;

$c(t)$: Variável controlada no domínio do tempo;

$C(s)$: Variável controlada no domínio da frequência;

$r(t)$: Valor de referência (*setpoint*) no domínio do tempo;

$R(s)$: Valor de referência (*setpoint*) no domínio da frequência.

K : Constante de proporcionalidade;

s : Variável complexa de Laplace;

a : Polo da função.

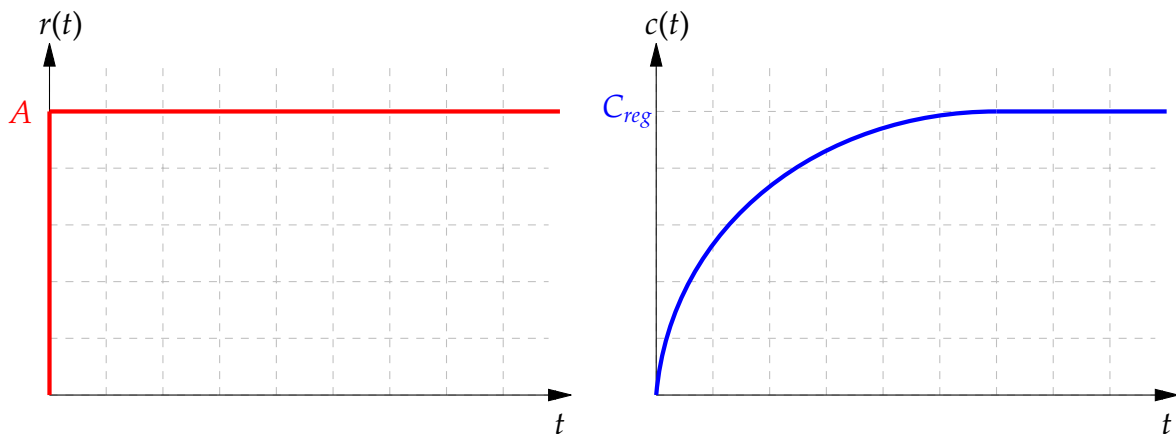
Sendo assim, para um estímulo de entrada do tipo **degrau**, com amplitude **A**, temos $R(s) = \frac{A}{s}$ e aplicando a Transformada Inversa de Laplace:

$$C(s) = \frac{K}{s+a} \frac{A}{s} \rightarrow \mathcal{L}^{-1} \rightarrow c(t) = \frac{KA}{a}(1 - e^{-at}) \quad (4.2)$$

A Figura 4.3a mostra um sinal do tipo degrau com amplitude **A** aplicado ao sistema de teste, que responde conforme um sistema de primeira ordem como mostrado na Figura 4.3b.

Figura 4.3: Sistema de Primeira Ordem

(a) Sinal de entrada tipo degrau com amplitude A (b) Resposta transitória e regime de acomodação



Fonte: Próprio autor

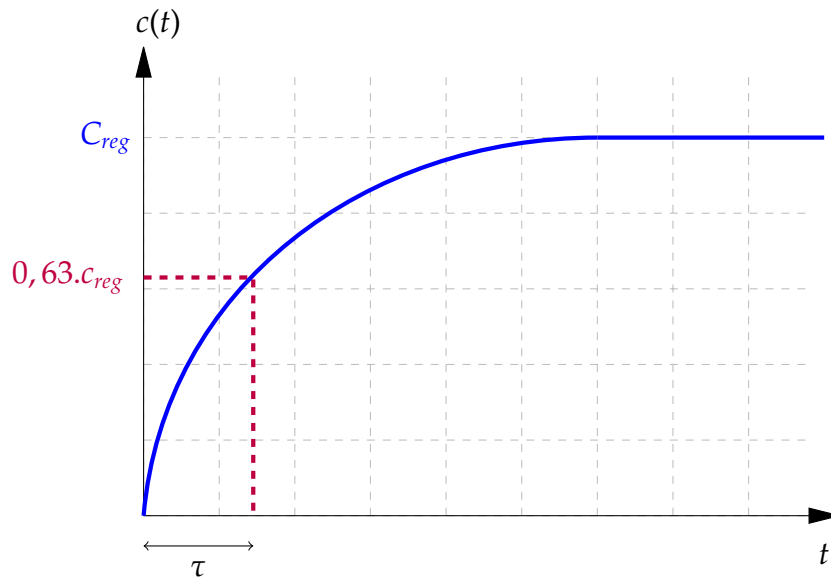
Matematicamente, quanto maior o valor de t na Equação 4.2, o resultado da exponencial tende a zero, levando a um resultado que depende apenas das constantes para o valor de referência.

Tomando $t = \frac{1}{a} = a^{-1} = \tau$ para gerar um valor conhecido em e^{-at} , da Equação 4.2 temos:

$$c(a^{-1}) = \frac{KA}{a}(1 - e^{-(a \cdot a^{-1})}) = \frac{KA}{a}(1 - e^{-1}) = \frac{KA}{a} \cdot 0,63 = 0,63 \cdot C_{reg} \quad (4.3)$$

A Figura 4.4 mostra a constante de tempo τ , que é atingida quando o sistema alcança 63% do seu valor de regime. Como sabemos que $\tau = \frac{1}{a}$, então o polo do

Figura 4.4: Constante de tempo



Fonte: Próprio autor

sistema, que leva o denominador da Equação 4.2 a zero, é:

$$a = \frac{1}{\tau} \quad (4.4)$$

Portanto:

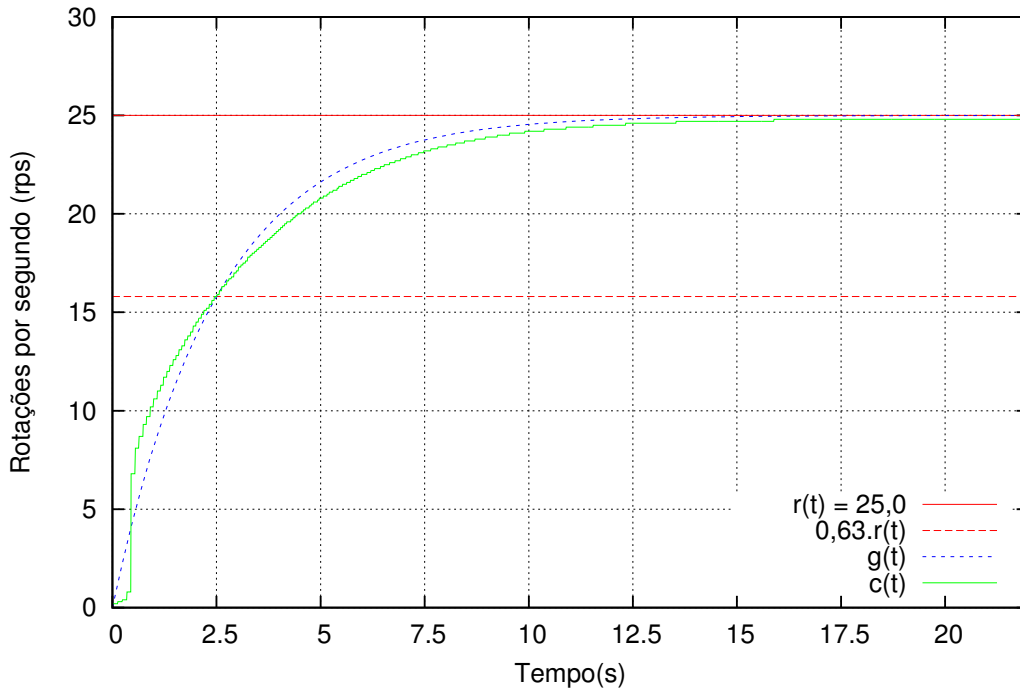
$$K = \frac{ac_{reg}}{A} \quad (4.5)$$

A Figura 4.2 mostra um sinal do tipo degrau aplicado como referência no valor de 25 rps, a curva de comportamento real medida empiricamente e a curva aproximada calculada pelo método determinístico como segue:

A Figura 4.5 possui uma linha indicativa que mostra o ponto de intercepção da curva ao valor de 63% do valor de referência, e empiricamente foi gerado um gráfico com divisões no eixo do Tempo no valor de $\tau = 2,5s$.

Calculando o polo da função:

$$a = \frac{1}{\tau} = \frac{1}{2,5} = 0,4 \quad (4.6)$$

Figura 4.5: Ação de Controle em Malha Aberta

Fonte: Próprio autor

Como $c_{reg} = 25$ e A também é 25 então na Equação 4.5 $K = a$ e assim temos que:

$$c(t) = \frac{KA}{a}(1 - e^{-at}) = \frac{0,4 \cdot 25}{0,4}(1 - e^{-0,4 \cdot t}) = 25(1 - e^{-0,4 \cdot t}) \quad (4.7)$$

Aplicando a Transformada de Laplace:

$$\frac{C(s)}{R(s)} = \frac{K}{s + a} = \frac{0,4}{s + 0,4} \quad (4.8)$$

Para a equação no formato canônico tanto o numerador quanto o denominador são divididos pelo próprio valor de K . Assim temos que:

$$\frac{C(s)}{R(s)} = \frac{1}{\tau s + 1} = \frac{1}{2,5s + 1} \quad (4.9)$$

Baseado no gráfico mostrado na Figura 4.5, o valor de tempo em que o motor assume a velocidade de referência é aproximadamente 5τ , 12,5 s, e como objetivo para uma primeira versão da implementação do controle utilizando LPA2v é proposto que o sistema reduza o tempo de alcance da velocidade alvo em um tempo de no máximo

1τ , ou seja, 2,5s.

4.2.1 Qualidade do modelo

A qualidade do modelo é relativa ao erro aceitável para o sistema estudado. Para o modelo obtido neste estudo foi aplicada o cálculo de Erro Relativo Percentual, e foram feitas análises em trechos diferentes em função da não linearidade inicial apresentada pelo comportamento do motor da planta em estudo.

A equação para o cálculo de Erro Relativo Percentual foi:

$$\%erro = \frac{|valor\ real - valor\ calculado|}{valor\ real} \times 100 \quad (4.10)$$

Realizando a somatória para o cálculo de erro médio com todas as amostras aquisitadas:

$$\%erro = \frac{100}{N} \cdot \sum_{n=0,00}^{n=22,40} \frac{|r[n] - c[n]|}{r[n]} \quad (4.11)$$

Onde:

r : valor real;

c : valor calculado;

n : número da amostra aquisitada;

N : número total de amostras.

Obs.: As aquisições começaram com tempo inicial de 0,00 s até o tempo final de 22,40 segundos, com intervalo de 10 milisegundos entre aquisições, totalizando 2240 amostras.

Foi obtido um valor médio de 2,71% de erro para o intervalo de aquisição de 50ms até os 22,40 s, que é o fim da aquisição, desconsiderando a região transitória não linear que ocorre nos instantes iniciais, mas que considera-se não relevante para a atual análise, inclusive pelo baixo valor de erro no restante do intervalo de comparação.

De forma mais detalhada, foram calculados os erros médios relativos para cada

intervalo de tempo de um τ , e pode-se notar, pela Tabela 4.1, que o erro de estado estacionário, para o intervalo acima de 5τ , é menor do que 1%.

Tabela 4.1: Erro Relativo Percentual para intervalos determinados por τ

Intervalo de amostras	erro médio relativo
1 a 2τ	3,16 %
2 a 3τ	3,38 %
3 a 4τ	2,00 %
4 a 5τ	2,29 %
$> 5 \tau$	0,82 %

Fonte: Próprio autor

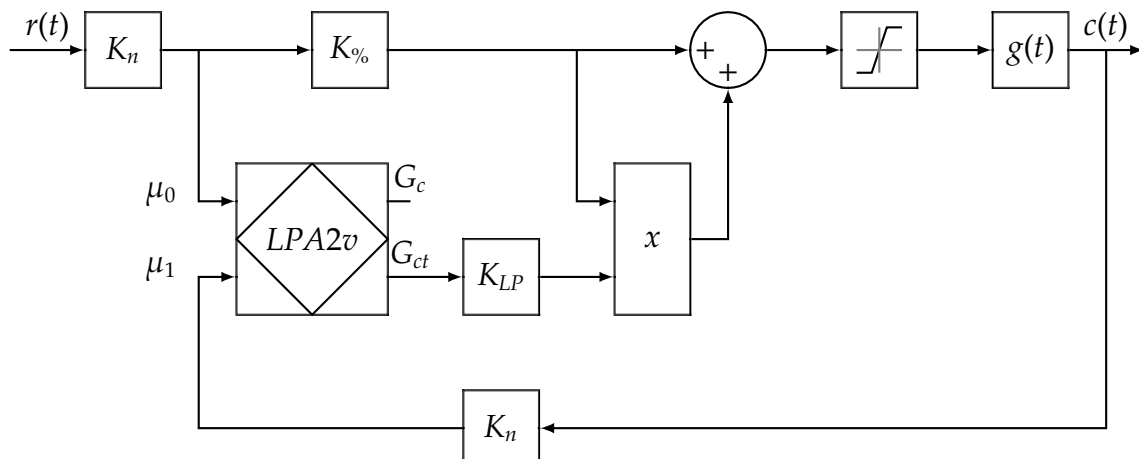
Desconsiderando a região transitória não linear que ocorre nos instantes iniciais do movimento do eixo do motor, o intervalo de maior erro é de 3,38%, conforme mostrado na Tabela 4.1, ressaltando ainda que no regime estacionário o erro é menor do que 1%. Assim, considera-se que o modelo utilizado é bom e representa razoavelmente bem o sistema físico real.

4.3 Resultados

O processo de implementação da LPA2v como parte do núcleo do controlador produziu algumas tentativas sendo que segue aquela de melhor resultado, não esgotando as formas e tentativas que poderão se seguir no decorrer da pesquisa.

A Figura 4.6 mostra o diagrama de blocos da implementação da LPA2v inserida na malha de controle.

Figura 4.6: Diagrama de blocos do controle utilizando a LPA2v



Fonte: Próprio autor

Temos então a descrição dos blocos :

- K_n : Bloco de normalização da grandeza de velocidade de giro do motor em rotações por segundo para o intervalo fechado entre 0,0 e 1,0. São dois bloco, sendo um para o parâmetro de referência, ou *setpoint*, e o outro para o sinal do sensor que efetua a leitura diretamente na planta de processo;
- $K_{\%}$: Normaliza o valor em um intervalo fechado de 0,0 a 1,0 para um intervalo de 0 a 100 correspondente ao parâmetro do acionamento por PWM;
- $LPA2v$: Calcula os graus de Certeza e Contradição de acordo com os parâmetros de entrada, que são os graus de evidência favorável μ_0 e μ_1 e são respectivamente referentes ao valor desejado e ao valor real lido diretamente na planta;
- K_{LP} : Coeficiente de ganho proporcional do grau de contradição;
- x : Bloco multiplicador;
- $g(t)$: Planta do sistema;
- *Soma*: Bloco somador;
- *Saturação*: Bloco limitador, impede o valor do PWM ultrapassar seu valor máximo de 100%.

Para implementação do controlador foram realizados alguns testes para verificar a velocidade máxima que o motor alcança, chegando ao valor de 85 rotações por segundo (rps), com isso, foi possível ajustar o bloco K_n para $\frac{1}{85}$, e sabe-se que o limite máximo para entrada em $r(t)$ é 85 e o mínimo é 0.

O bloco $K_{\%}$ é apenas um fator multiplicador com valor 100.

O bloco da $LPA2v$ apresenta a seguinte proposição:

P: O eixo do motor apresenta rotação igual ao valor de referência.

Para tal proposição, são utilizados dois especialistas: μ_0 é o grau de crença que refere-se ao valor desejado, e corresponde ao valor teórico para acionamento do PWM; e μ_1 , que é o grau de crença com que o motor atinge a velocidade de giro desejada, é o valor utilizado como realimentação do sistema.

O bloco LPA2v calcula os graus de descrença das respectivas entradas:

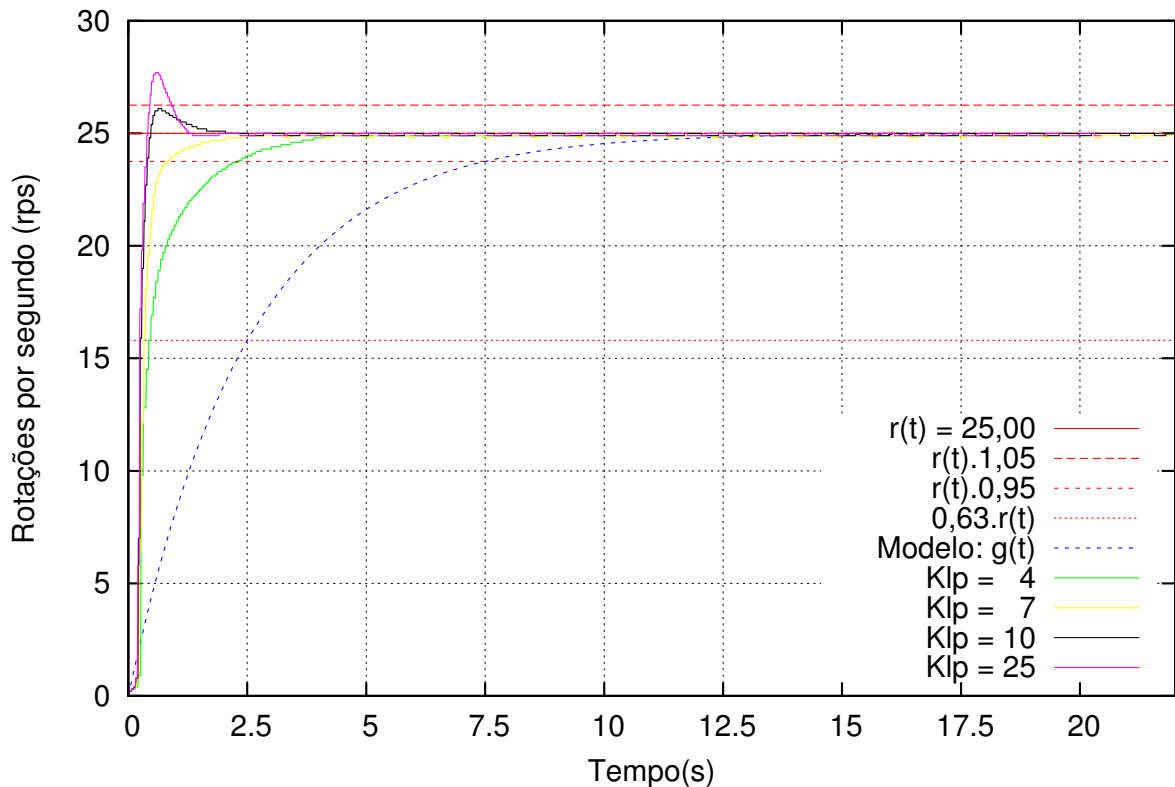
$$\lambda_0 = 1 - \mu_0 \quad \lambda_1 = 1 - \mu_1 \quad (4.12)$$

Para o cálculo dos graus de Certeza e Contradição são utilizados:

$$P_{(\mu_0, \lambda_1)} \quad (4.13)$$

Os resultados da ação de controle utilizando a LPA2v são mostrados na Figura 4.7, onde pode-se ver que para um K_{LP} variando de 4 até 10, o sistema apresenta comportamento que atende aos requisitos de desempenho, pois o valor de regime entra na janela formada pelo erro de 5% referente ao valor desejado em um tempo menor do que um τ , ou seja, 2,5s. Mesmo o sobressinal gerado com $K_{LP} = 10$, não chega a ultrapassar o valor limite máximo de erro.

Figura 4.7: Ação de controle utilizando LPA2v

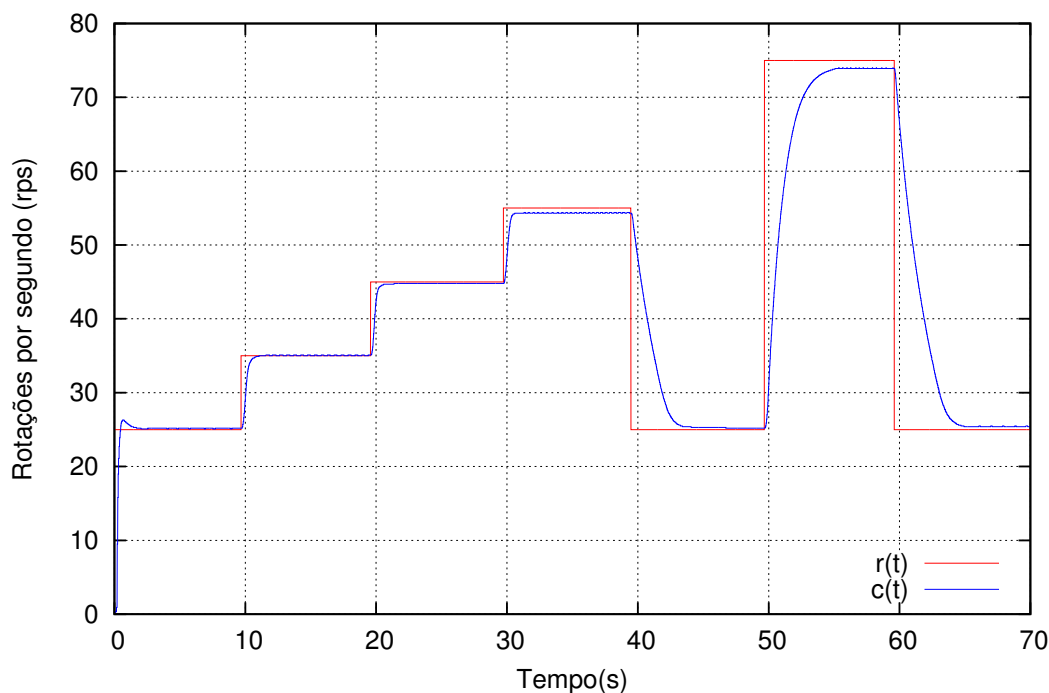


Fonte: Próprio autor

Em um segundo momento foi gerado um sinal de referência variável, assumindo valores de patamar diferentes a cada intervalo de tempo aproximado de 10s. A Figura 4.8 mostra o sinal de referência junto ao sinal de resposta da planta, onde nota-se que

com um degrau com variação de 25, houve um sobressinal, porém para os demais patamares, a variação foi menor, e com isso, não apresentaram sobressinal. Outro ponto notado foi que o erro é cada vez maior quanto maior for o valor de desejado, de referência.

Figura 4.8: Ação de controle utilizando LPA2v para valores alvo variáveis



Fonte: Próprio autor

Apesar destes detalhes o resultado é tido como muito bom e promissor, pois possibilitou que a LPA2v fosse testada de forma empírica em um sistema de controle dinâmico, obtendo uma performance dentro de um padrão mínimo estabelecido.

4.4 Etapas a serem desenvolvidas

- Estudar a LPA2v;
- Implementar um controlador utilizando LPA2v;
 - Estabelecer a configuração do sistema;
 - Descrever o controlador e parâmetros de ajuste;
- Otimizar parâmetros e analisar performance;

5. Cronograma

As atividades a serem desenvolvidas para a conclusão e defesa da dissertação de mestrado são apresentadas na forma de descrição e na forma de tabela.

A descrição apresenta a série de tarefas a serem realizadas após a qualificação, sendo cada uma das tarefas denotada como uma entrega a ser realizada ao orientador.

O cronograma ajustado para datas de entrega dos fragmentos do trabalho, possibilita a visão e o esforço focados na tarefa, e foi baseado em metodologias ágeis.

As tarefas são as seguintes:

1. Entregar o estudo da LPA2v aplicada ao Controle de Sistemas.

A LPA2v possui uma grande diversidade de aplicações, e tendo o controle de sistemas uma das áreas de pouca ou talvez nenhuma aplicação, pois ainda não foi encontrado qualquer artigo que mostrasse seu uso. Assim essa tarefa consiste em se aprofundar nas pesquisas da utilização da LPA2v em sistemas de controle de processos.

2. Entregar a implementação de um controlador utilizando LPA2v.

Implementar um modelo de controlador, baseado no exemplo de aplicação em controle de sistemas trazido pelo Profº Dr. João Inácio da Silva Filho em sua tese de doutorado defendida na Universidade de São Paulo, sendo ele um dos precursores da aplicação da LPA2v.

3. Entregar a configuração do controlador.

Formatar um modelo estabelecendo a configuração do controlador desenvolvido.

4. Entregar a descrição do controlador e dos parâmetros de ajuste.

Dado o controle utilizando a LPA2v em operação, serão descritos os parâmetros

de ajuste e a configuração do controlador, permitindo uma fácil reprodução para novos ensaios e aplicações.

5. Entregar a primeira otimização dos parâmetros e análise da performance.

Primeira etapa de otimização após a descrição do controlador, onde possíveis alterações podem ser realizadas, com o intuito de corrigir conceitos e formas de aplicação, ou ainda, um refinamento do controlador.

6. Entregar a segunda otimização dos parâmetros e analisar a performance do controlador.

Segunda etapa de otimização para pequenos acertos de configuração ou decodificação.

7. Entregar a revisão de toda a dissertação.

Revisão geral da dissertação, envolvendo conferência das referências, formatação no padrão estabelecida pela instituição avaliadora, correções ortográficas e gramaticais.

8. Entregar a dissertação finalizada.

Finalizar a versão para correção do orientador.

9. Entregar a correção da dissertação.

Após apontamentos do orientador, correção final.

10. Entregar a impressão da dissertação.

Realizar a impressão de quatro vias da dissertação, sendo três vias a serem enviadas à banca examinadora e uma para próprio uso.

11. Entregar a apresentação finalizada.

Baseado na dissertação finalizada, concluir a produção da apresentação.

12. Apresentar a dissertação.

Tabela 5.1: Cronograma de atividades

Tarefas	Jul		Ago		Set		Out		Nov		Dez	
	12	26	16	30	13	27	11	25	15	29	06	13
1												
2												
3												
4												
5												
6												
7												
8												
9												
10												
11												
12												

Fonte: Próprio autor

6. Viabilidade Econômica

Para a efetiva execução da pesquisa, dentro das perspectivas propostas e estabelecidas pelo autor, sendo necessária a construção do sistema físico, e juntamente com outros recursos, apresenta-se aqui o aspecto econômico referente aos custos envolvidos na viabilização deste trabalho.

Tabela 6.1: Custo dos itens adquiridos para montagem do projeto

Item	Descrição	Valor
1	Placa de desenvolvimento modelo Tiva TM TM4C123GH6PM	R\$42,00
2	Placa padrão perfurada 10x15 cm	R\$15,00
3	Componentes eletrônicos diversos	R\$20,00
4	Fonte de alimentação	R\$60,00
	Total	R\$137,00

Fonte: Próprio autor

O item 3 da Tabela 6.1 refere-se aos componentes para montagem do circuito de acionamento do motor e como elementos principais pode-se citar: Transistor MOSFET IRF640N, Optoacoplador 4n25, Interruptor óptico HOA0862-T55, capacitores, resistores, diodos, regulador de tensão, conectores.

Alguns equipamentos ou componentes não geraram custos ao projeto devido a serem itens de uso comum a outras atividades do autor.

Tabela 6.2: Itens que não geraram custo direto ao projeto

Item	Descrição
1	Microcomputador portátil - Notebook
2	Softwares
3	Multímetro
4	Motor DC
5	Disco acoplado ao motor

Fonte: Próprio autor

O item 2 da Tabela 6.2 refere-se aos softwares utilizados em todo o desenvolvimento do trabalho, sendo estas ferramentas de uso livre utilizadas previamente pelo autor, como sistema operacional GNU/Linux Debian 8(Jessie), GNOME Shell, Editor de texto e códigos fonte VIM, compilador GCC para ARM (arm-none-eabi-gcc), GNU Make, processador de texto \LaTeX - pdfTEX, pacotes geradores de figuras TikZ, PGF e GNU pic(Groff), gerador de gráficos GNUPlot, terminal de comunicação Minicom e gravador LM4Flash.

Todos os custos referentes ao projeto foram custeados pelo próprio autor, em função da natureza e limitação do trabalho proposto.

Referências Bibliográficas

ABE, J. M.; FILHO, J. I. da S.; TORRES, G. L. *Inteligência Artificial com as Redes de Análise Paraconsistentes*.: Teoria e aplicação. 1ª. ed. [S.l.]: LTC, 2008.

BUENO-SOLER, J.; CARNIELLI, W.; TESTA, R. (Ed.). *Consistency, Contradiction, Paraconsistency, and Reasoning - 40 year of CLE*. Campinas, São Paulo - Brazil: Center for Logic, Epistemology and the History of Science, 2016.

CARVALHO, F. R. de; BRUNSTEIN, I.; ABE, J. M. Um estudo de tomada de decisão baseado em lógica paraconsistente anotada: Avaliação do projeto de uma fábrica. *Revista Pesquisa e Desenvolvimento Engenharia de Produção*, São Paulo, n. 1, p. 47–62, Dez 2003.

COELHO, M. S. *Controle PI Híbrido com Lógica Paraconsistente aplicado em malha de controle de nível em vaso pressurizado*. Dissertação (Mestrado) — Universidade Santa Cecília, Santos, 2015.

DA SILVA FILHO, J. I. Métodos de aplicações da lógica paraconsistente anotada de anotação com dois valores-lpa2v. *Revista Seleção Documental*, Santos, v. 1, n. 1, p. 18–25, Março 2006.

DA SILVA FILHO, J. I.; ABE, J. M. Aspectos de lógica e teoria da ciência: Pesquisa e métodos de aplicações da lógica paraconsistente anotada em sistemas de inteligência artificial. *Instituto de Estudos Avançados da Universidade de São Paulo*, São Paulo, p. 50–83, 2011.

DORF, R. C.; BISHOP, R. H. *Modern control systems*. 12ª. ed. New Jersey: Pearson Education, Inc, 2011.

GOMES, E. L. *Sobre a história da paraconsistência e a obra de da Costa: a instauração da Lógica Paraconsistente*. Tese (Doutorado) — Instituto de Filosofia e Ciências Humanas - Universidade Estadual de Campinas, Campinas, 2013.

KRAUSE, D. Lógica paraconsistente. *Scientific American Brasil*, São Paulo, n. 30, p. 70–77, Nov 2004.

NISE, N. *Engenharia de sistemas de controle*. 3ª. ed. Califórnia: LTC, 2009.

NUNES, V. C. *Aplicação da Lógica Paraconsistente Anotada de anotação com dois valores - LPA2v em tomada de decisão de um Manipulador Robótico Industrial no processo de*

paletização. Dissertação (Mestrado) — Universidade Santa Cecília, Santos, 2015.

OGATA, K. *Modern Control Engineering*. 5^a. ed. New Jersey: Prentice Hall, Pearson Education, Inc, 2010.